

AEG Thyratron

ASG 5696

Tetrode mit Edelgasfüllung

Inert gas-filled Tetrode

Tétrode avec remplissage à gaz rare

Glasausführung

Glass type

Exécution verre

Miniaturröhre

Pico 7

Sockel B 7 G

Oxydkathode

Oxyde-coated-cathode

Cathode à oxyde

indirekt geheizt durch Gleich- oder Wechselstrom

indirectly D. C. or A. C. heated

chauffée indirectement par courant continu ou alternatif

Montageanordnung

Mounting position

Disposition de montage

beliebig

any

quelconque

Gewicht

Weight

Poids

0,006 kg

a = Anode

Anode

Anode

k = Kathode

Cathode

Cathode

g₁ = Steuergitter

Control grid

Grille de réglage

g₂ = Schirmgitter

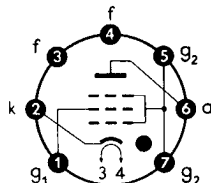
Screen grid

Grille de protection

f = Heizung

Heating

Chaudage



Sockelschaltbild
von unten gesehen

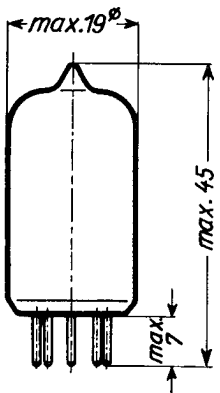
Base connection
viewed from below

Broches de la base,
face à l'observateur

Abmessungen
Dimensions
Dimensions

}

mm



Freie Kontakte der Fassung dürfen nicht als Stützpunkte für Schaltmittel benutzt werden.

Free socket contacts must not be used for supporting any circuitry.

Les contacts libres de la douille ne doivent pas servir de points d'appui pour la filerie.

AEG Thyratron

ASG 5696

Technische Werte

Technical data

Caractéristiques techniques

Heizspannung

Filament voltage U_f }
Tension de chauffage } 6,3 V ± 10 %

Heizstrom

Filament current I_f ca.
Courant de préchauffage } abt. 0,15 A
env.

Anheizzeit

Cathode-heating time t_h } 10 s
Durée de chauffage }

Anodenspannung-Scheitelwert

Anode voltage (crest value) U_{asp} max. 500 V
Tension anodique (valeur de crête) }

Sperrspannung-Scheitelwert

Inverse voltage (crest value) U_{inv} max. 500 V
Tension d'arrêt (valeur de crête) }

Anodenstrom-Scheitelwert

Anode current (crest value) I_{asp} max. 0,1 A
Courant anodique (valeur de crête) }

Anodenstrom-Mittelwert

Anode current (average) I_a max. 0,025 A
Courant anodique (valeur moyenne) }

Überlastungsstromstoß

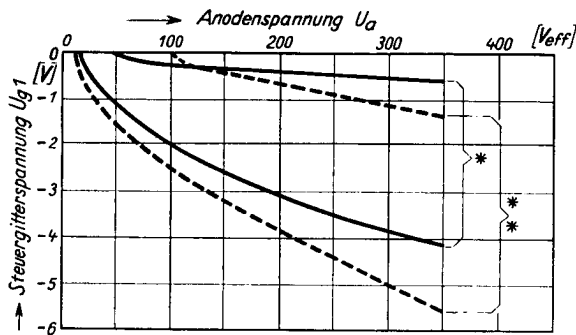
(für max. 0,1 s)
Surge current of max. 0,1 s $I_{stoß}$ 2 A
for design only
Impulsion de courant anodique
accidental de printe admissible
pendant 0,1 s max.

Negative Spannung am Steuergitter bei gesperrter [gezündeter] Röhre (Scheitelwert)

Negative control grid bias of non-
conducting [conducting] tube (crest
value) $U_{g,sp}$ max. -100 V
[max. - 10 V]

Tension negativ de grille régulatrice
pour tube bloqué [allumé] (valeur
de crête)

Negative Spannung am Schirmgitter bei gesperrter [gezündeter] Röhre (Scheitelwert)	$U_{g,sp}$	max. —50 V [max. —10 V]
Negative screen grid bias of non-conducting [conducting] tube (crest value)		
Tension negativ de grille protectrice pour tube bloqué [allumé] (valeur de crête)		
Steuergitterstrom-Mittelwert		
Control grid current (average)	I_{g_1}	max. 5 mA
Courant de grille régulatrice (valeur moyenne)		
Schirmgitterstrom-Mittelwert		
Screen grid current (average)	I_{g_2}	max. 5 mA
Courant de grille protectrice (valeur moyenne)		
Zulässige Spannung zwischen Heizung f und Kathode k	$f \text{ neg. gegen } k$	
Max. permissible voltage between filament f and cathode k	$f \text{ neg. against } k$	
Tension admissible entre chauffage f et cathode k	$f \text{ neg. contre } k$	
$f \text{ pos. gegen } k$	U_{fk}	max. 100 V
$f \text{ pos. against } k$		max. 25 V
$f \text{ pos. contre } k$		
Brennspannung	U_B	
Arc voltage drop	ca. abt. env.	8 V
Chute dans l'arc		
Integrationszeit		
Integration time	τ	30 s
Temps d'intégration		
Ionisierungszeit		
Ionization time	t_i	0,5 μ s
Temps d'ionisation		
Freiwerdezeit	t_r	
Recovery time	bei at $U_{g_1} = -10 \text{ V}$	75 μ s
Temps de recouvrement	à $= -100 \text{ V}$	25 μ s
Gitterwiderstand	R_g	
Max. grid resistance		max. 10 M Ω
Résistance de grille		
Gitter-Anoden-Kapazität	C_{ga}	
Grid-Anode capacity		0,03 pF
Capacité anode-grille		
Eingangs-Kapazität	C_e	
Grid-filament capacity		1,8 pF
Capacité d'entrée		
Umgebungstemperatur	t_{amb}	
Ambient temperature		min. —55 °C
Température ambiante		max. +90 °C



* Streubereich bei $R_{g1} = 0,1 \text{ M}\Omega$
 Zone of allowance at à
 Bande de dispersion bei $R_{g1} = 10 \text{ M}\Omega$

** Streubereich bei $R_{g1} = 10 \text{ M}\Omega$
 Zone of allowance at à
 Bande de dispersion bei $R_{g1} = 10 \text{ M}\Omega$

Kennlinienbereich bei Anschluß des Schirmgitters an die Kathode.

Firing characteristics of screen-grid thyatron with screen grid connected directly to cathode.

Bande des caractéristiques pour raccord de la grille protectrice à la cathode.

Anodenspannung U_a { RMS anode voltage
 Tension anodique

Steuergitterspannung U_{g1} { Control-grid bias
 Tension de grille régulatrice